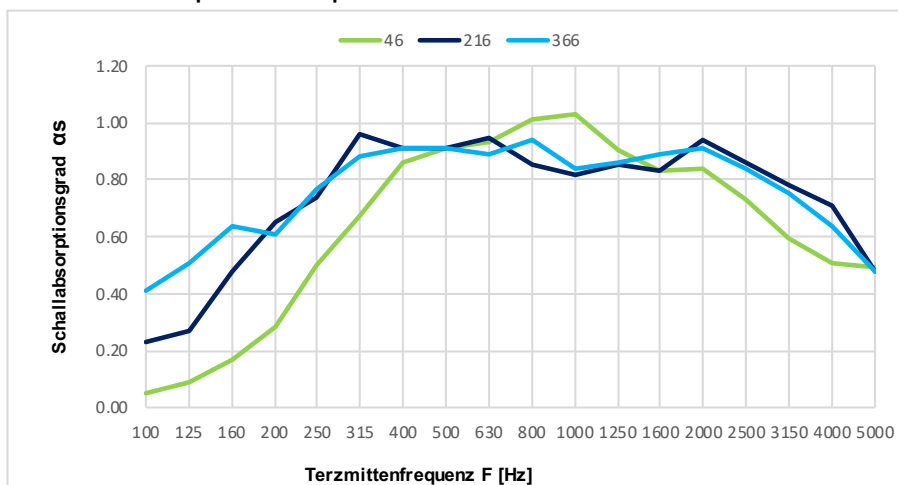


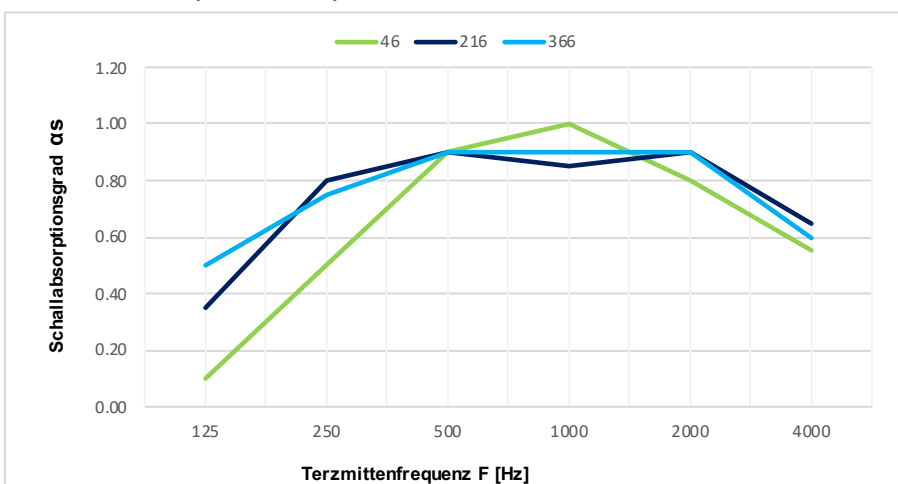
# MAKUSTIK Perfo PE 16/16/5.0/7.0-1

|                     | MAKUSTIK Perfo<br>PE 16/16/5.0/7.0-1 | MAKUSTIK Perfo<br>PE 16/16/5.0/7.0-1 | MAKUSTIK Perfo<br>PE 16/16/5.0/7.0-1 |
|---------------------|--------------------------------------|--------------------------------------|--------------------------------------|
|                     | Simulation 03.2006                   | Simulation 03.2006                   | Simulation 03.2006                   |
| EN 11654 $\alpha_w$ | 0.70 (M) C                           | 0.85 (.) B                           | 0.80 (.) B                           |
| structure           | 46                                   | 216                                  | 366                                  |

$\alpha_s$  coefficient d'absorption acoustique



$\alpha_s$  coefficient d'absorption acoustique



Contenu:

- Dispositif de mesure
- Caractéristique du produit
- Coefficient d'absorption acoustique, mesuré dans un local réverbérant selon EN ISO 354
- Evaluation de la valeur moyenne  $\alpha_w$  et de la fréquence moyenne  $\alpha_p$  selon EN ISO 11654
- Evaluation graphique des valeurs d'absorption acoustique  $\alpha_s$  selon les fréquences
- Certificat de test original sur demande

|   | MAKUSTIK Perfo<br>PE 16/16/5.0/7.0-1  | MAKUSTIK Perfo<br>PE 16/16/5.0/7.0-1  | MAKUSTIK Perfo<br>PE 16/16/5.0/7.0-1  |
|---|---|---|---|
|   | Simulation 03.2006  | Simulation 03.2006  | Simulation 03.2006  |
|   |  |  |  |
| (X) Structure mm  | 46  | 216   | 366   |
| (A) Elément mm  | 16  | 16  | 16  |
| (B) Face arrière  | voile   | voile   | voile   |
| (C) Isolation mm  | 30  | 30  | 30  |
| (D) Espacement mm   | 0   | 170   | 320   |
| ouverte côté visible  | 7.7%  | 7.7%  | 7.7%  |
| ouverte à l'arrière   | 15%   | 15%   | 15%   |
| 6 T-W li.M  | 0.65  | 0.73  | 0.76  |
| 18 T.W Li.M   | 0.63  | 0.73  | 0.76  |
| SAA (ASTM)  | 0.79  | 0.86  | 0.85  |
| NRC (ASTM)  | 0.80  | 0.85  | 0.85  |
| EN 11654 $\alpha_w$   | 0.70 (M) C  | 0.85 (.) B  | 0.80 (.) B  |
| hz  | $\alpha_s$  | $\alpha_s$  | $\alpha_s$  |
| 100   | 0.05  | 0.23  | 0.41  |
| 125   | 0.09  | 0.27  | 0.51  |
| 160   | 0.17  | 0.48  | 0.64  |
| 200   | 0.28  | 0.65  | 0.61  |
| 250   | 0.50  | 0.74  | 0.77  |
| 315   | 0.67  | 0.96  | 0.88  |
| 400   | 0.86  | 0.91  | 0.91  |
| 500   | 0.91  | 0.91  | 0.91  |
| 630   | 0.93  | 0.95  | 0.89  |
| 800   | 1.01  | 0.85  | 0.94  |
| 1000  | 1.03  | 0.82  | 0.84  |
| 1250  | 0.90  | 0.85  | 0.86  |
| 1600  | 0.83  | 0.83  | 0.89  |
| 2000  | 0.84  | 0.94  | 0.91  |
| 2500  | 0.73  | 0.86  | 0.84  |
| 3150  | 0.59  | 0.78  | 0.75  |
| 4000  | 0.51  | 0.71  | 0.64  |
| 5000  | 0.49  | 0.48  | 0.48  |
| $\alpha_p$ Valeur pratique dépendante de la fréquence d'absorption acoustique |   |   |   |
| 125   | 0.10  | 0.35  | 0.50  |
| 250   | 0.50  | 0.80  | 0.75  |
| 500   | 0.90  | 0.90  | 0.90  |
| 1000  | 1.00  | 0.85  | 0.90  |
| 2000  | 0.80  | 0.90  | 0.90  |
| 4000  | 0.55  | 0.65  | 0.60  |